PROBLEMI ATTUALI E PROSPETTIVE NELL'INGEGNERIA DELLE STRUTTURE Convegno in onore di FRANCO MACERI 26-27 Settembre, 2013 – Maratea (PZ)

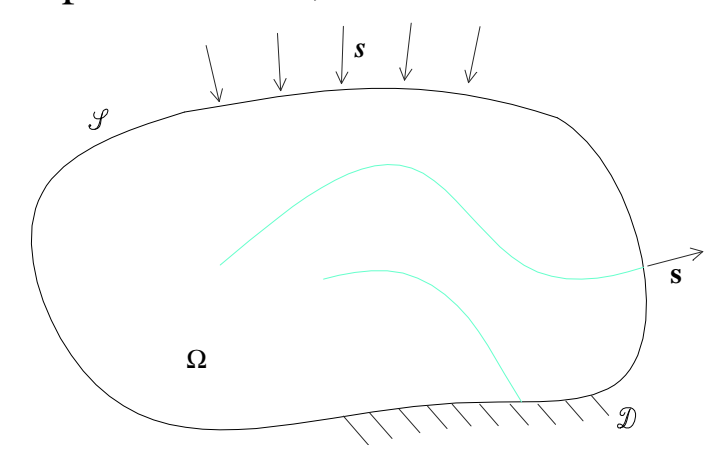
SULL'ANALISI LIMITE DI PANNELLI IN MURATURA FIBRORINFORZATI

M. Lucchesi¹, M. Šilhavý², N. Zani¹

¹Dipartimento di Ingegneria Civile e Ambientale, Universita' di Firenze, Piazza Brunelleschi 6, 50121 Firenze Italia

²Institute of Mathematics of the AV CR Žitná 25 115 67 Prague 1 Czech Republic Sia $\Omega \subset \mathbb{R}^2$ un corpo rinforzato con fibre. Le fibre sono schematizzate come una famiglia \mathcal{F} di curve regolari che non si intersecano.

Indicati con T e T gli stati di sforzo, con b e b le forze di massa, s e s i carichi esterni di superficie, agenti sul corpo e nella fibra, rispettivamente,



il sistema di forze applicate e' in equilibrio se soddisfa l'equazione dei lavori virtuali:

$$\int_{\Omega} \mathbf{T} \cdot \nabla \mathbf{u} \, d\mathcal{L}^2 + \int_{\mathcal{F}} \mathbf{T} \cdot \nabla \mathbf{u} \, d\mathcal{H}^1 =$$

$$\int_{\Omega} \boldsymbol{b} \cdot \boldsymbol{u} \, d\mathcal{L}^2 + \int_{\mathcal{F}} \mathbf{b} \cdot \boldsymbol{u} \, d\mathcal{H}^1 + \int_{\mathcal{S}} \boldsymbol{s} \cdot \boldsymbol{u} \, d\mathcal{H}^1 + \sum_{\mathcal{S} \cap \partial \mathcal{F}} \boldsymbol{s} \cdot \boldsymbol{u}$$

per ogni
$$\mathbf{u} \in C^{\infty}(\overline{\Omega}, \mathbb{R}^2) : \mathbf{u}_{|\mathcal{D}} = \mathbf{0}.$$

Facciamo l'ipotesi che la matrice del composito sia costituta da materiale non resistente a trazione e la fibra da materiale elastico lineare.

Analisi limite

Uno stato di sforzo per il composito e' costituito da una coppia (T, T) che diremo ammissibile se

- T e T $(Nt \otimes t)$ sono funzioni a quadrato sommabile;
- ${m T}({m x}) \leq 0$ quasi per ogni ${m x} \in \varOmega$ e $N \geq 0$ quasi per ogni ${m x} \in {\mathcal F}$

e equilibrato con i carichi se soddisfa il teorema dei lavori virtuali.

Diremo che i carichi sono compatibili se esiste uno stato di sforzo (T, T) ammissibile che li equilibra.

Siano

$$f(\mathbf{E}) = \frac{1}{2}\mathbf{T}(\mathbf{E}) \cdot \mathbf{E} \text{ e } f(\epsilon) = \frac{1}{2}N(\epsilon)\epsilon$$

la densita' di energia di deformazione della matrice e della fibra. Indichiamo con

$$\mathrm{E}(oldsymbol{u}) = \int_{\Omega} f \, d\mathcal{L}^2 + \int_{\mathcal{F}} \mathrm{f} \, d\mathcal{H}^1$$

l'energia di deformazione, con

$$W(\boldsymbol{u}) = \int_{\Omega} \boldsymbol{b} \cdot \boldsymbol{u} \, d\mathcal{L}^2 + \int_{\mathcal{F}} \mathbf{b} \cdot \boldsymbol{u} \, d\mathcal{H}^1 + \int_{\mathcal{S}} \boldsymbol{s} \cdot \boldsymbol{u} \, d\mathcal{H}^1 + \sum_{\mathcal{S} \cap \partial \mathcal{F}} \boldsymbol{s} \cdot \boldsymbol{u}$$

il lavoro dei carichi e con

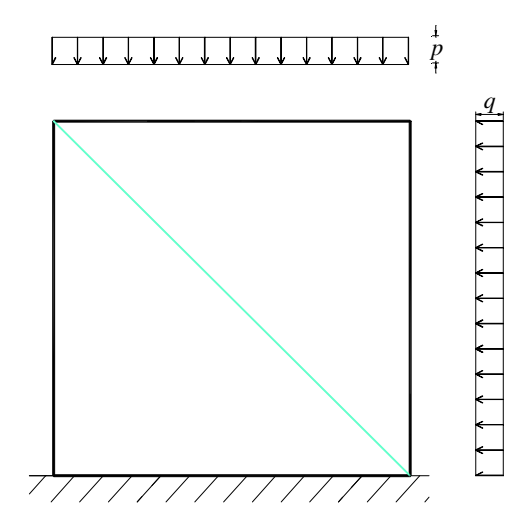
$$F(\boldsymbol{u}) = E(\boldsymbol{u}) - W(\boldsymbol{u})$$

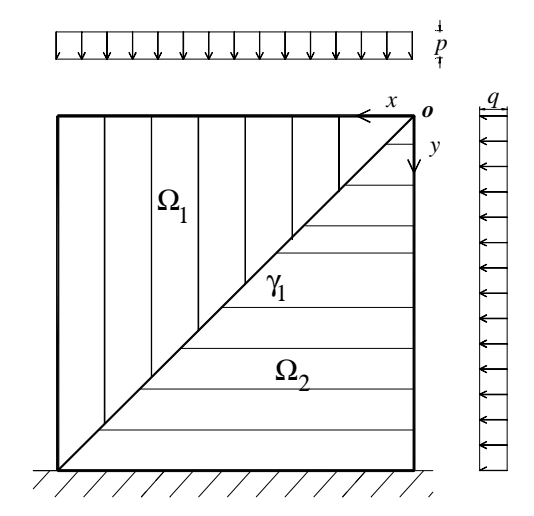
l'energia potenziale totale del composito.

Sotto opportune ipotesi si dimostra che il funzionale dell' *energia potenziale* e' limitato inferiormente se e solo se i carichi sono *compatibili*.

A direct approach to fiber and membrane reinforced bodies. Part I. Stress concentrated on curves for modelling fiber reinforced materials. *Continuum mechanics and thermodynamics* **25**, 537-558 (2013).

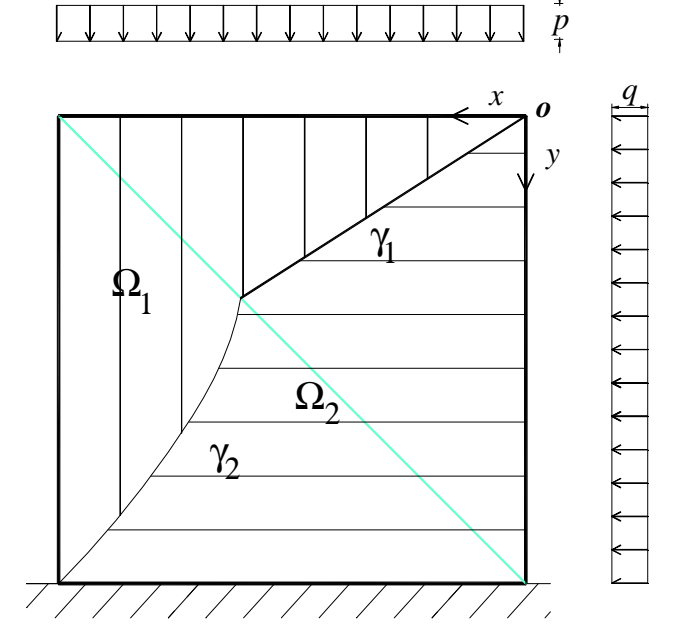
A direct approach to fiber and membrane reinforced bodies. Part II. Membrane reinforced bodies. *Continuum mechanics and thermodynamics* (in press).





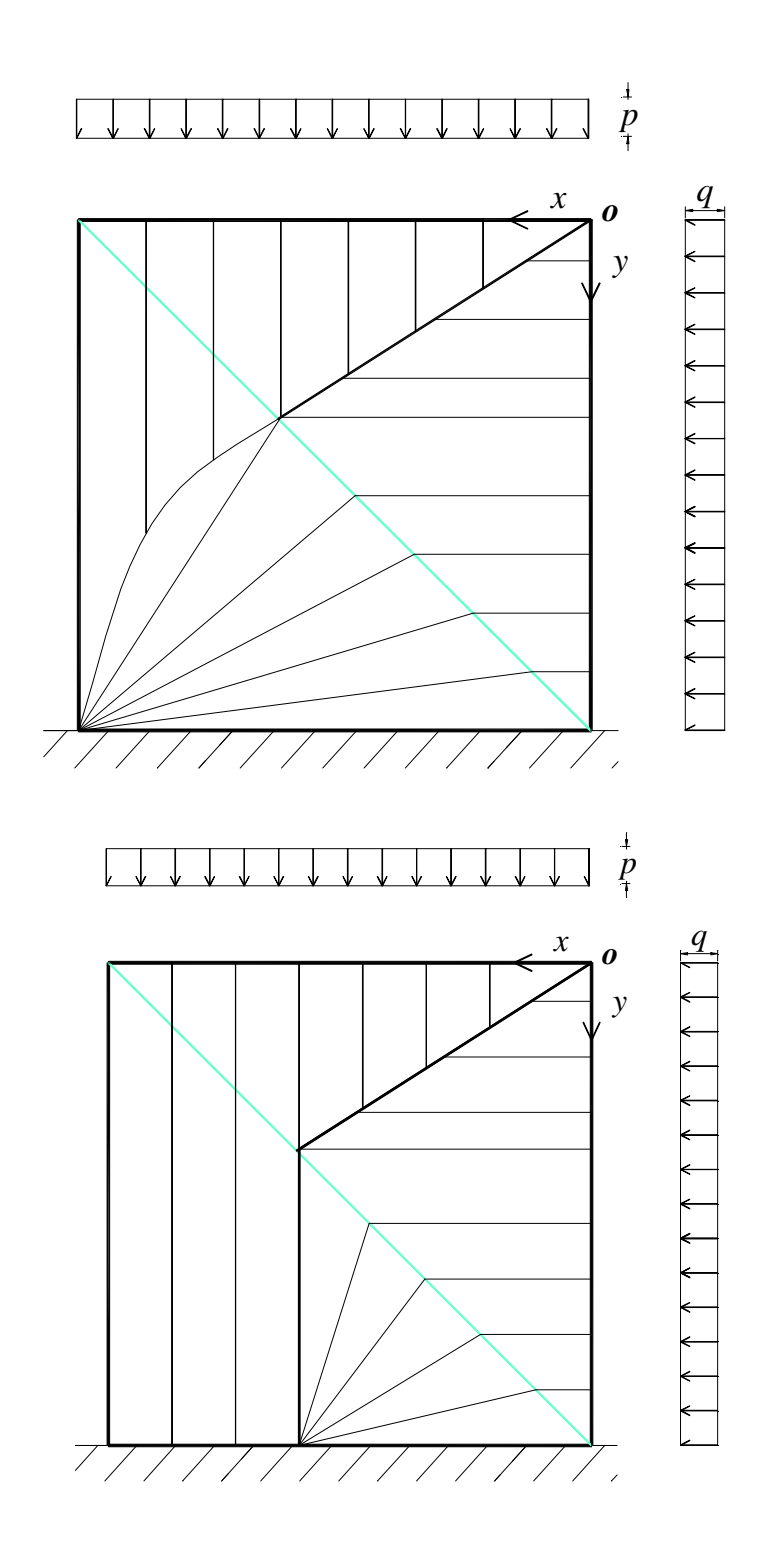
$$egin{aligned} m{T_r} &= \left\{ egin{aligned} pm{e}_2 \otimes m{e}_2 & ext{in } \Omega_1 \ qm{e}_1 \otimes m{e}_1 & ext{in } \Omega_2 \end{aligned}
ight. \ s_1(x) &= x\sqrt{p(p+q)}, \end{aligned}$$

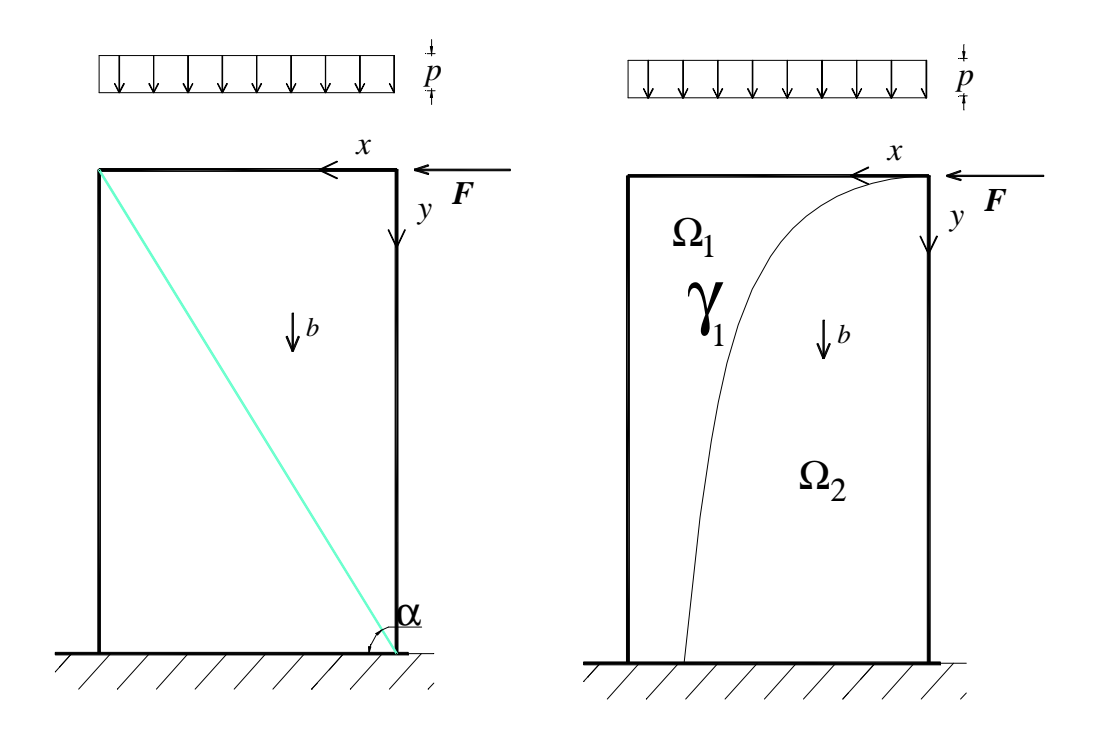
in
$$\Omega/\gamma$$
. $\omega_1 = \sqrt{\frac{p}{q}}x$



$$s_2(x) = \sqrt{px^2(p+q) + \sqrt{2}N(p+q)x + N(N-\sqrt{2}ql)}$$

$$\omega_2 = N + \frac{\sqrt{2}}{2q}\sqrt{2pqx^2 + 2\sqrt{2}Nqx + N(N-\sqrt{2}ql)}$$

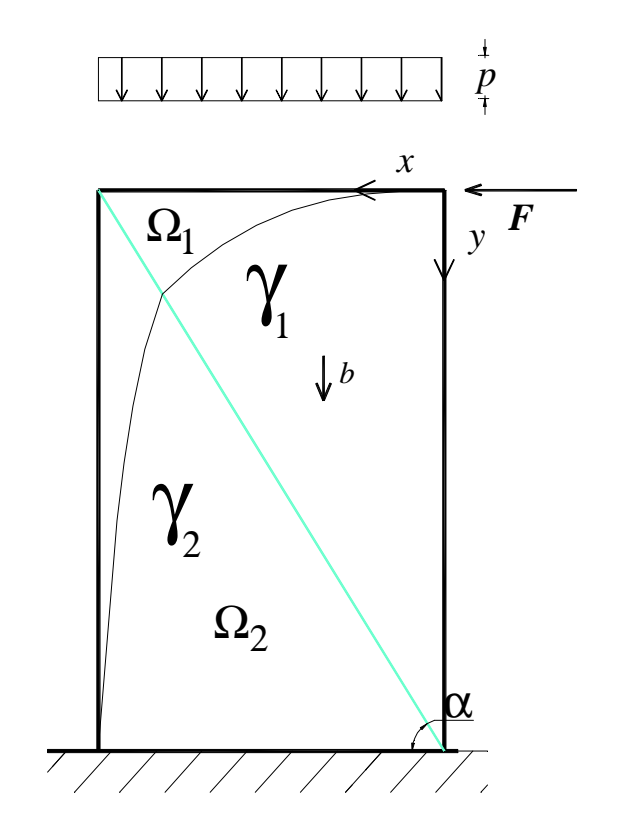




$$T_r = \begin{cases} (-by - p)\mathbf{e}_2 \otimes \mathbf{e}_2 & \text{in } \Omega_1 \\ b(\omega(x) - y)\mathbf{e}_2 \otimes \mathbf{e}_2 & \text{in } \Omega_2 \end{cases}$$

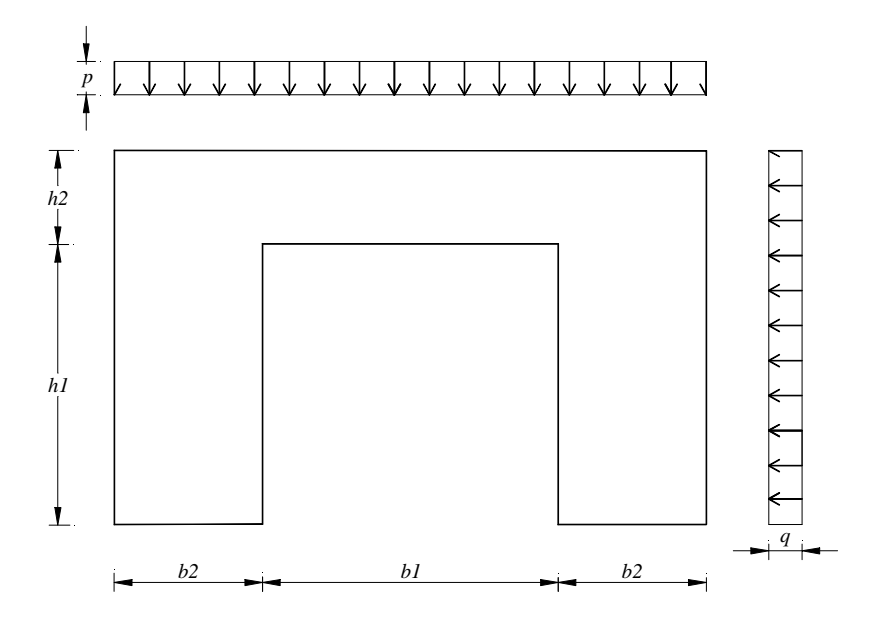
$$\omega_1'' - \frac{b}{F}\omega_1 = -\frac{p}{F}, \, \omega_1(0) = 0, \, \omega_1'(0) = F$$

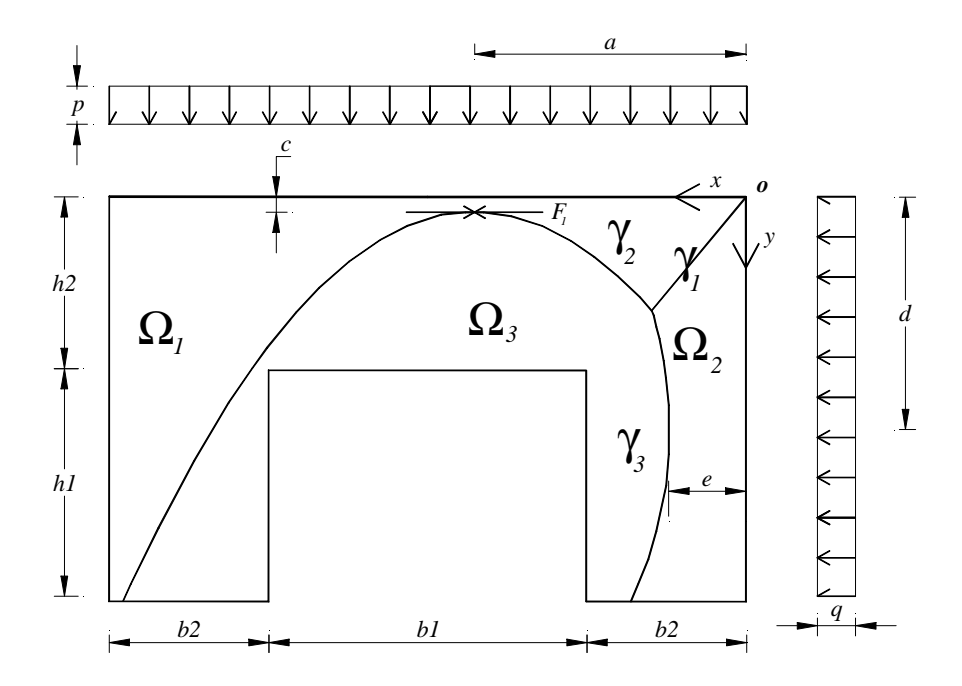
$$s_1(x) = \sqrt{F^2 + rac{Fp^2}{2b} \left(\cosh(2\sqrt{rac{b}{f}}x) - 1 \right)},$$
 $\omega_1 = rac{p}{2b} \left(\sinh\left(\sqrt{rac{b}{f}}x
ight) - 1 \right).$



$$\omega_2'' - \frac{b}{F - N\cos\alpha}\omega_2 = -\frac{p}{F - N\cos\alpha},$$

$$\omega(x_0)=y_0,\,\omega'(x_0)=rac{px_0+b\int_0^{x_0}\omega_1dx+N\sinlpha}{F-N\coslpha}$$





Uno stato di sforzo equilibrato e compatibile e' dato da:

$$m{T_r} = egin{cases} pm{e}_2 \otimes m{e}_2 & ext{in } \Omega_1 \ qm{e}_1 \otimes m{e}_1 & ext{in } \Omega_2 \ m{0} & ext{in } \Omega_3 \end{cases}$$

$$s_1(x) = x\sqrt{p(p+q)},$$
 $\omega_1 = \sqrt{\frac{p}{q}}x$

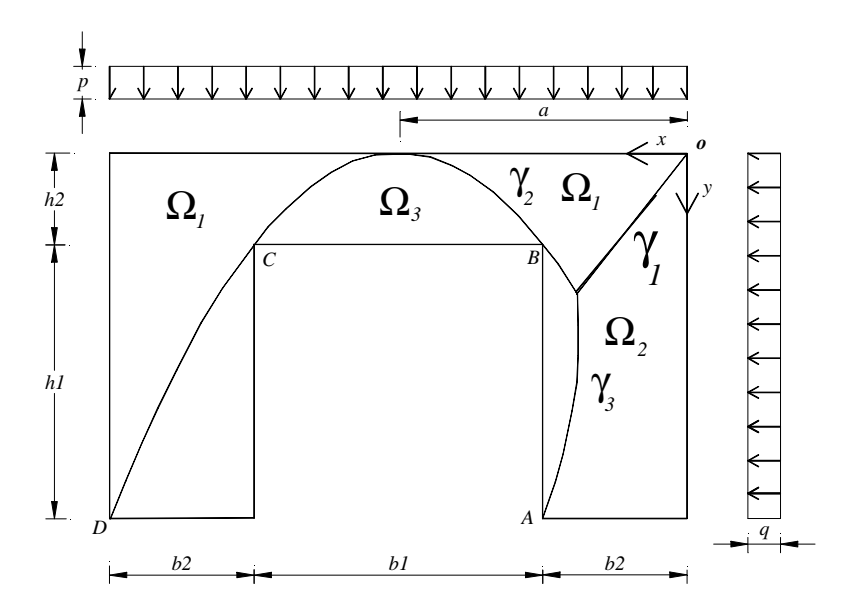
$$s_2(x) = \sqrt{F^2 + p^2(x+a)^2},$$

 $\omega_2 = \frac{p}{2F}x^2 - \frac{ap}{F}x + \frac{2Fc + a^2p}{2F}$

$$s_3(x) = \sqrt{2apqx + F^2 - 2cFq + a^2p(p-q)},$$

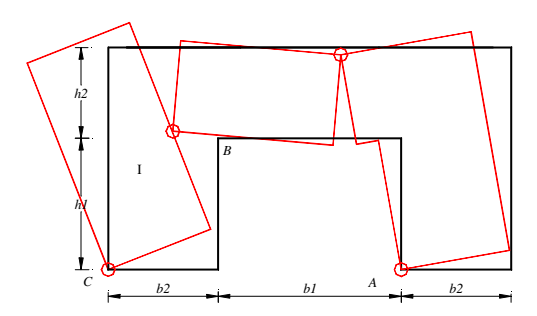
 $\omega_3 = \frac{F}{q} - \frac{1}{q}\sqrt{2apqx + F^2 - 2cFq - a^2pq}$

Mantenendo p costante, si incrementa il valore del carico q fino al collasso q_c . Si ha, detti $h = h_1 + h_2$ e $b = b_1 + 2b_2$

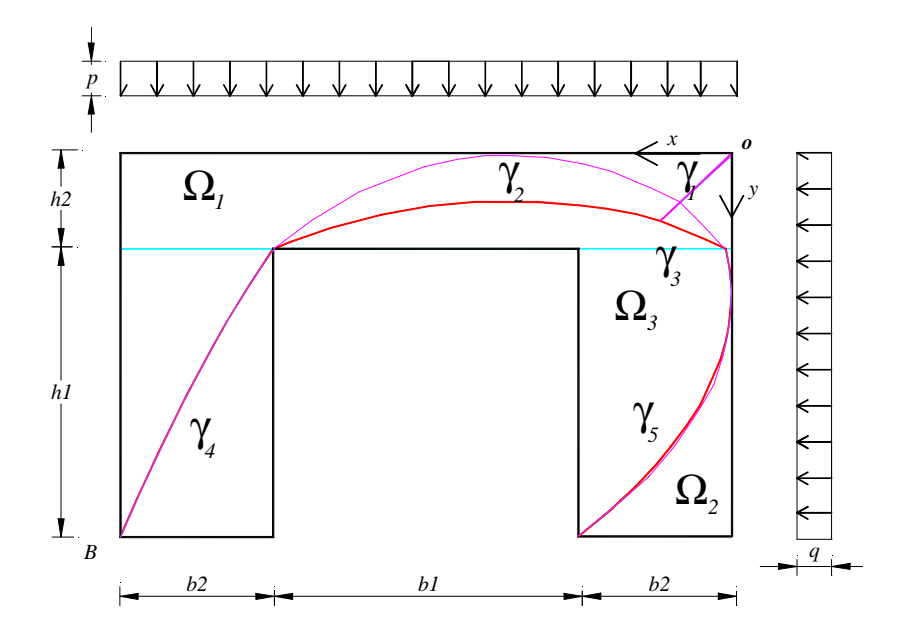


$$a=rac{b_1h_1-b_2(\sqrt{hh_2}-h_1+h_2)}{h_1}, F=rac{pb_2^2ig(\sqrt{h}+\sqrt{h_2}ig)^2}{2h_1^2}, \ q_c=rac{b_1^2h_1-2b_1b_2\sqrt{h_2}ig(\sqrt{h}+\sqrt{h_2}ig)-2b_2^2\sqrt{h}ig(\sqrt{h}+\sqrt{h_2}ig)}{h_1h^2}p.$$

Per
$$\frac{h_1}{h_2} = 3$$
, $\frac{b_1}{b_2} = 2$, si ha $\frac{q_c}{p} = 1$.



Stresses represented by measures in the theory of masonry bodies. *III Canadian Conf. Of nonlinear solids mechanics*, Toronto, 25-29 giugno 2008, Canada



Analogamente al caso precedente, uno stato di sforzo equilibrato e compatibile e' dato da

$$m{T_r} = egin{cases} pm{e}_2 \otimes m{e}_2 & ext{in } \Omega_1 \ qm{e}_1 \otimes m{e}_1 & ext{in } \Omega_2 \ m{0} & ext{in } \Omega_3 \end{cases}$$

con la presenza di 5 curve di singolarita'

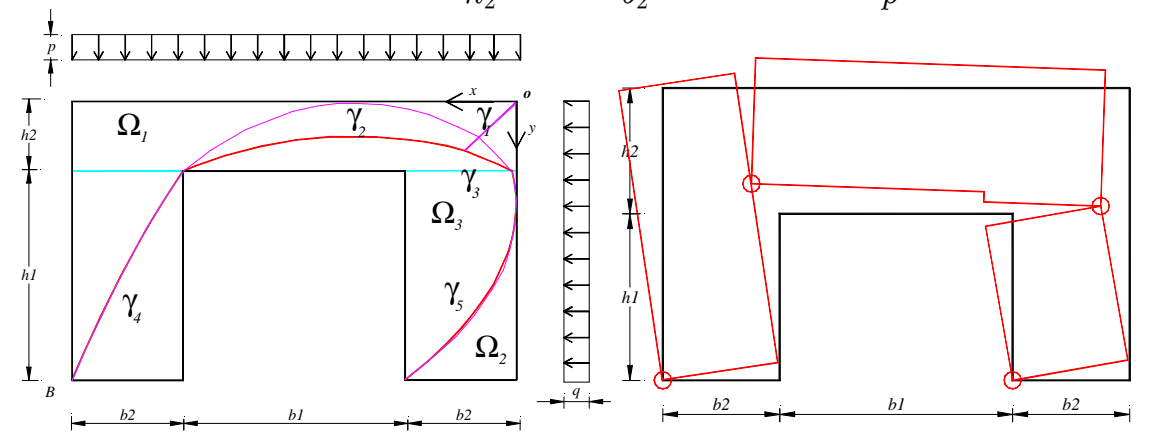
$$s_4(x) = \sqrt{(F-N)^2 + p^2(x+a)^2},$$

 $\omega_4 = \frac{p}{2(F-N)}x^2 - \frac{ap}{N-F}x + \frac{2N(c-h_2) + a^2p}{2(F-N)} + c$

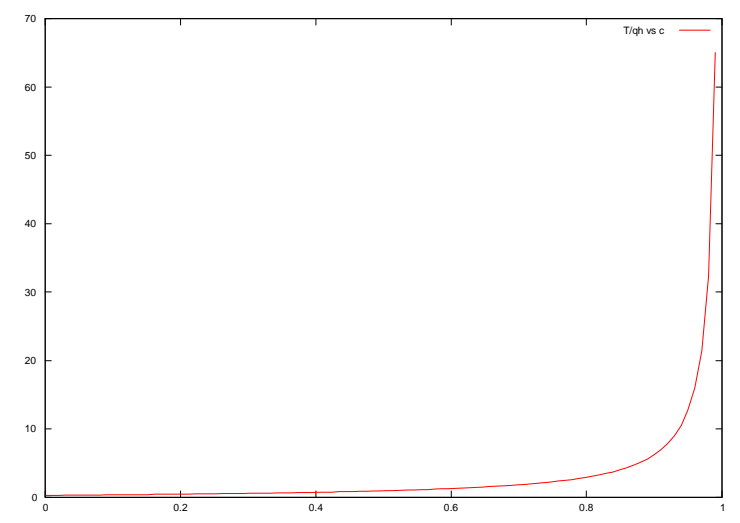
$$s_5(x) = \sqrt{2apqx + F^2 - 2F(N+cq) + N^2 + 2Nqh_2 + a^2p(p-q)},$$

$$\omega_5 = \frac{F-N}{q} - \frac{1}{q}\sqrt{2apqx + F^2 - 2F(N+cq) + N^2 + 2Nqh_2 - a^2pq}.$$

Mantenendo p costante, si incrementa il valore del carico q fino al collasso q_c . Per $\frac{h_1}{h_2}=3$, $\frac{b_1}{b_2}=2$, si ha $\frac{q_c}{p}=1.837$.



La soluzione e' nota a meno di un parametro. In figura si plotta il valore della forza normale sulla fibra in funzione del parametro.



$$\frac{N_{\min}}{gh} = 0.287.$$